

UNIVERSITÀ DEGLI STUDI DI MILANO

Misura del rapporto di efficienza di identificazione del fotone tra dati e simulazione Montecarlo per il Run2 dell'esperimento ATLAS ad LHC

Tesi di Federico Marletta

Relatore: Prof. Leonardo Carlo Carminati
Correlatori: Dott. Ruggero Turra, Dott. Laura Nasella

Anno accademico 2024/2025



bosone W

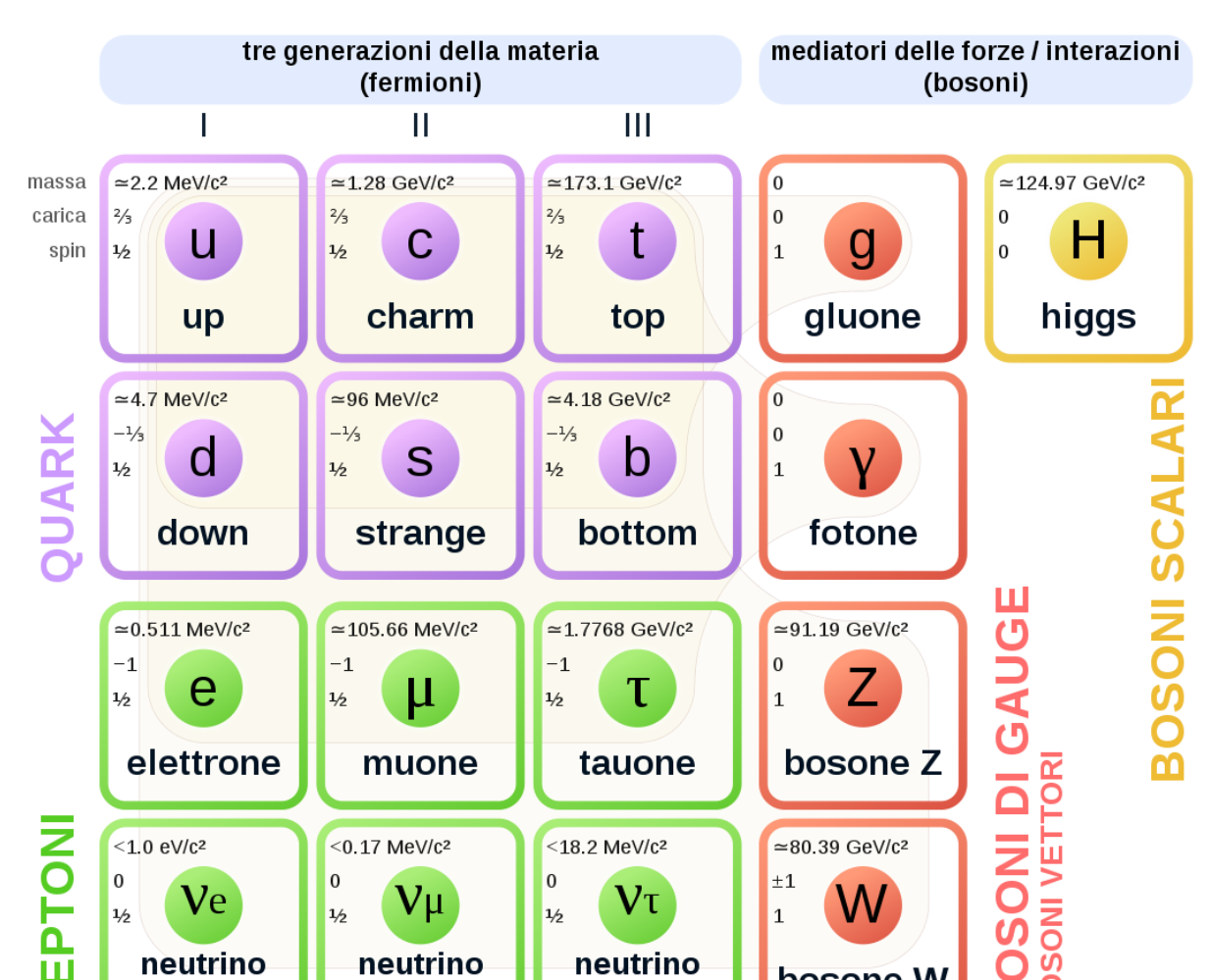
2

Contesto Teorico

elettronico

muonico

Modello Standard delle Particelle Elementari



tauonico

Bosoni

Mediatori delle interazioni fondamentali:

- γ: interazione elettromagnetica
- g: interazione forte
- W/Z: interazione debole
- H: conferisce massa

Fermioni

- Costituiscono la materia
- Spin ½
- Accompagnati dalla propria antiparticella
- Divisi il Leptoni e Quark

Modello Standard LHC/ATLAS ricostruzione e/ γ

Calcolo degli Yield

Misura degli SF

conclusione

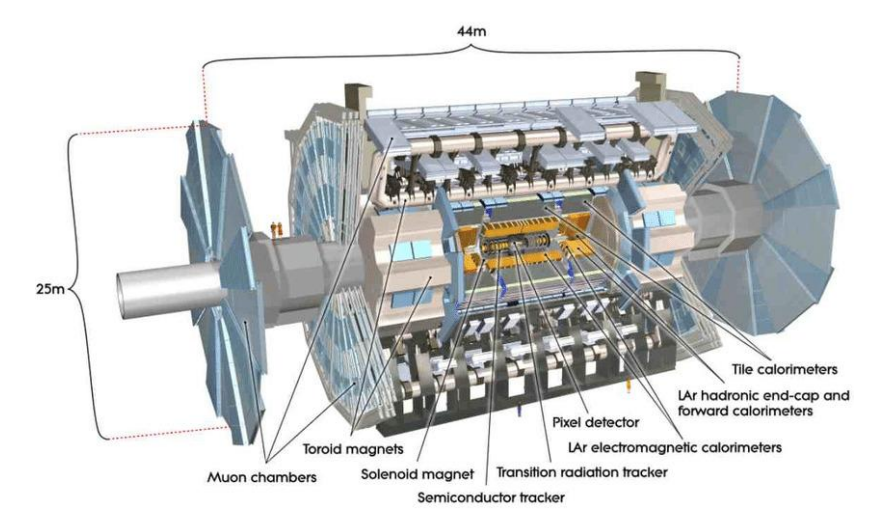
3

LHC

- Uno dei 7 acceleratori del CERN
- Collisioni Protone-Protone a \sqrt{s} = 13,6 TeV \Longrightarrow Studio processi fisici descritti da SM
- Avvengono in presenza dei rivelatori

ATLAS

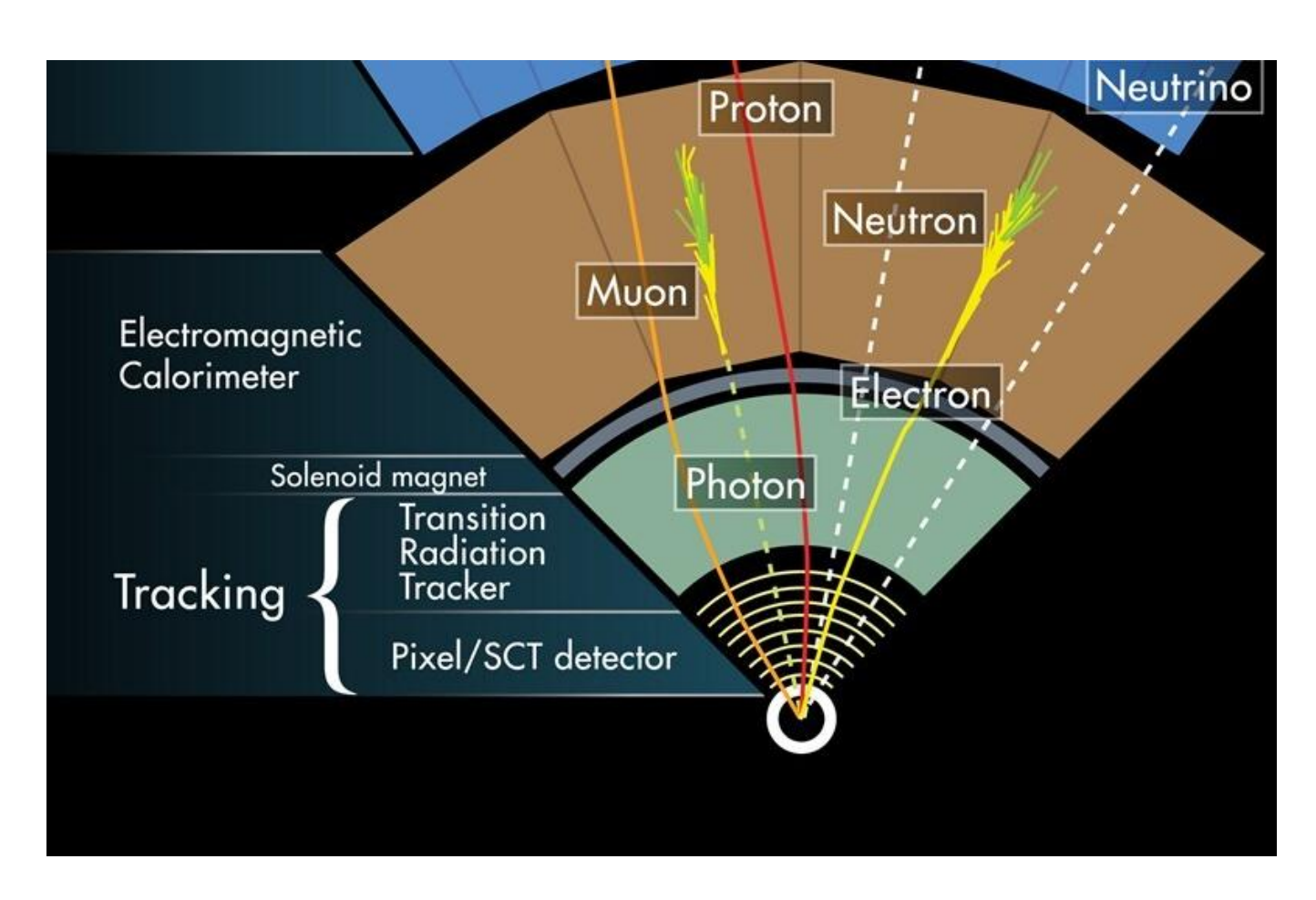
- Le collisioni avvengono al centro e le particelle si propagano in tutte le direzioni
- Sistema di rivelatori.
 - > Inner detector: momento e traiettoria delle particelle,
 - Calorimetri: energia delle particelle
 - > Muon Spectrometer: momento dei muoni





Ricostruzione di Elettroni e Fotoni

- Ricostruzione di depositi energetici nelle celle dei calorimetri
- Ricostruzione delle tracce
- Abbinamento tracce o vertici di conversione con cluster di energia
- e-
 - definito come un oggetto costituito da un cluster con una traccia associata
- γ può essere di due tipi :
 - Fotone convertito: cluster associato ad un vertice di conversione
 - Fotone non convertito: cluster non associato né ad una traccia, né ad un vertice di conversione.





Obiettivi:

Analisi del decadimento: $Z \rightarrow l^+ l^- \gamma$

- 1. Misurare l'efficienza di Identificazione del fotone: $\epsilon = \frac{Y_{ield}^{rel}}{Y_{ield}^{tot}}$
- 2. Misura degli Scale Factors: $SF = \frac{\epsilon_{data}}{\epsilon_{MC}}$

Dati utilizzati (RUN2)

- merged_data_final.root
- merged_sig_final.root
- merged_bkg_final.root

Modello Standard

LHC/ATLAS

ricostruzione e/ γ

Calcolo degli Yield

Misura degli SF

conclusione

6

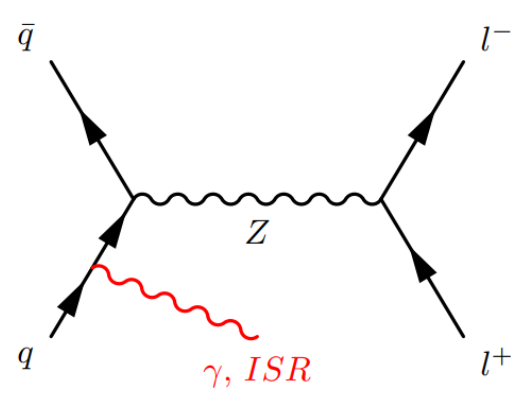


Selezioni applicate ai dataset

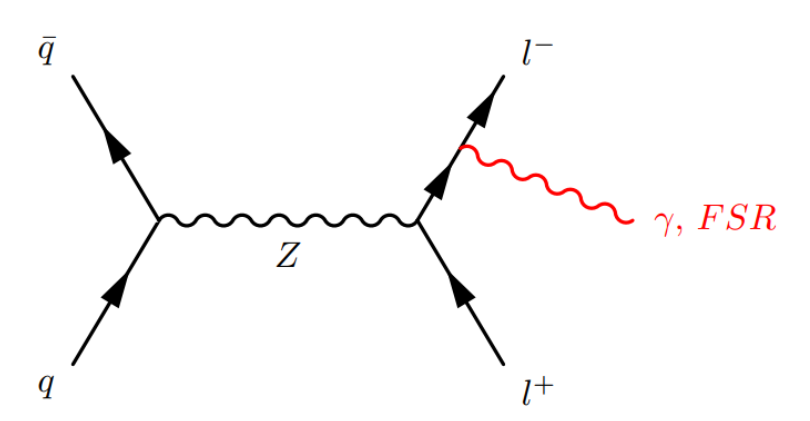
- $P_T^{\gamma} > 10 \text{ GeV}$
- $|\eta_{\gamma}| \in [0, 1.37] \cup [1.52, 2.37]$
- ph.conflag = 3
- $m_{ll} < 85 \text{ GeV}$
- $m_{lly} \in [50, 120] \text{ GeV}$

PROBLEMA:

Rimane una frazione di background che bisogna riuscire a rimuovere per effettuare la misura dell'efficienza



Caso ISR: $m_{ll} \approx m_Z \approx 91 \; {\rm GeV}$ $m_{ll\gamma} > m_Z$



Caso FSR: $m_{ll} < m_Z \approx 91 \text{ GeV} \longrightarrow \text{Tipologia di} \\ m_{ll\gamma} \approx m_Z \qquad Z \rightarrow l^+ l^- \gamma$



Signal Region e Control Region

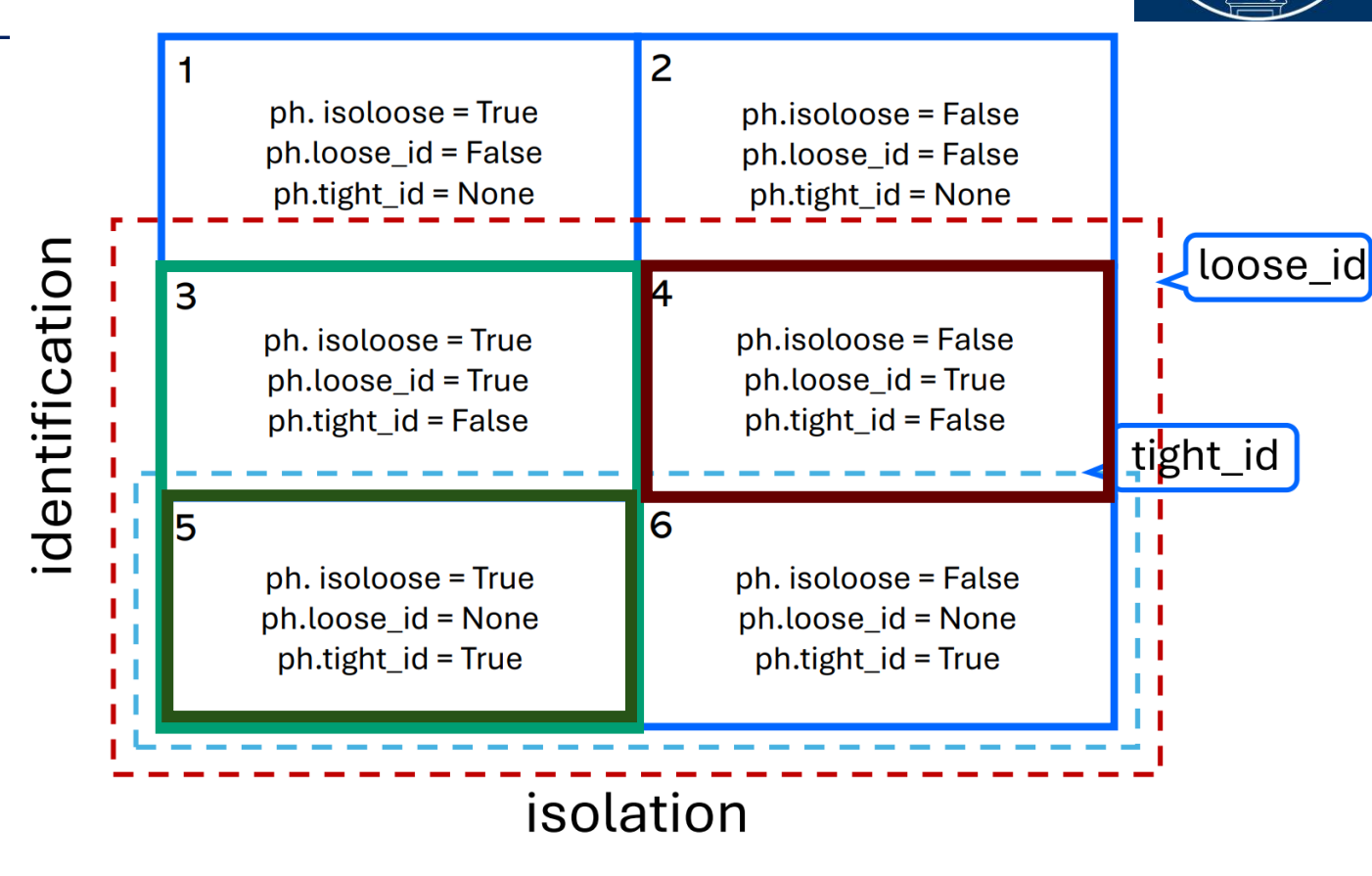
Definite tramite le seguenti variabili booleane:

- ph.isoloose
- ph.loose_id
- ph.tight_id

Signal Region:

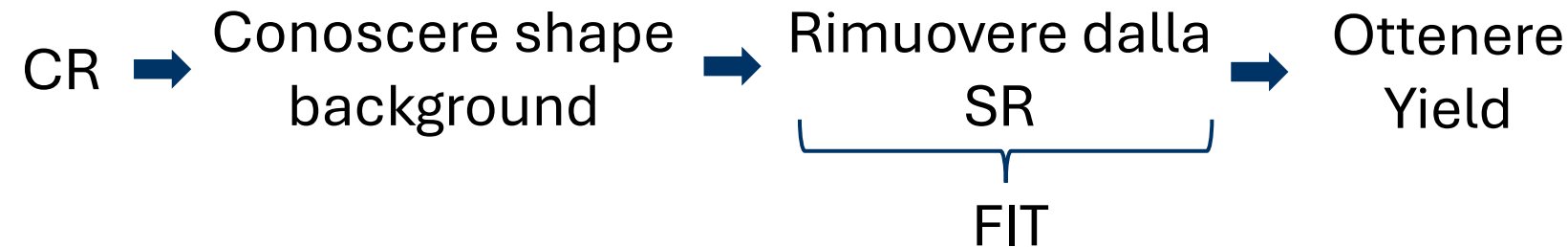
- Numeratore:
 - ph.tight_id = True
 - > ph.isoloose = True
- Denominatore:
 - > ph.isoloose = True
 - ph.loose_id = True

5+3



Control Region:

- ph.tight_id = False
- ph.isoloose = False
- ph.loose_id = True



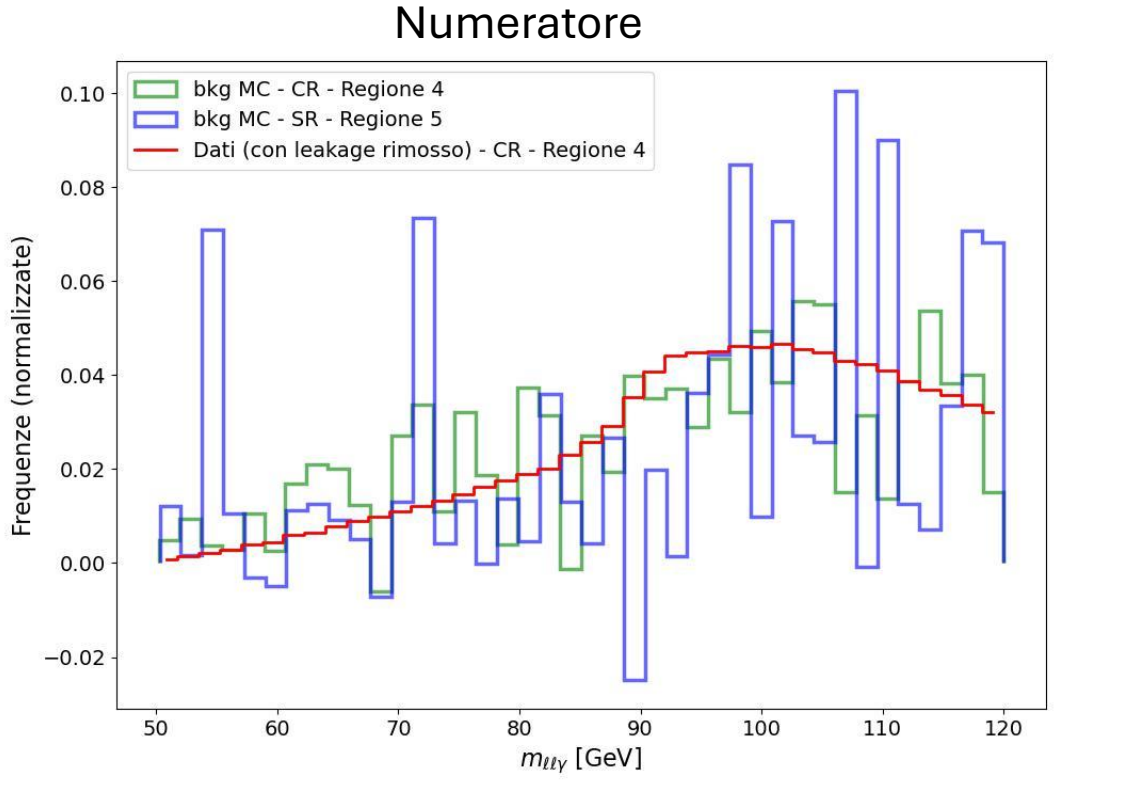
Modello Standard LHC/ATLAS ricostruzione e/ γ Calcolo degli Yield Misura degli SF conclusione 8

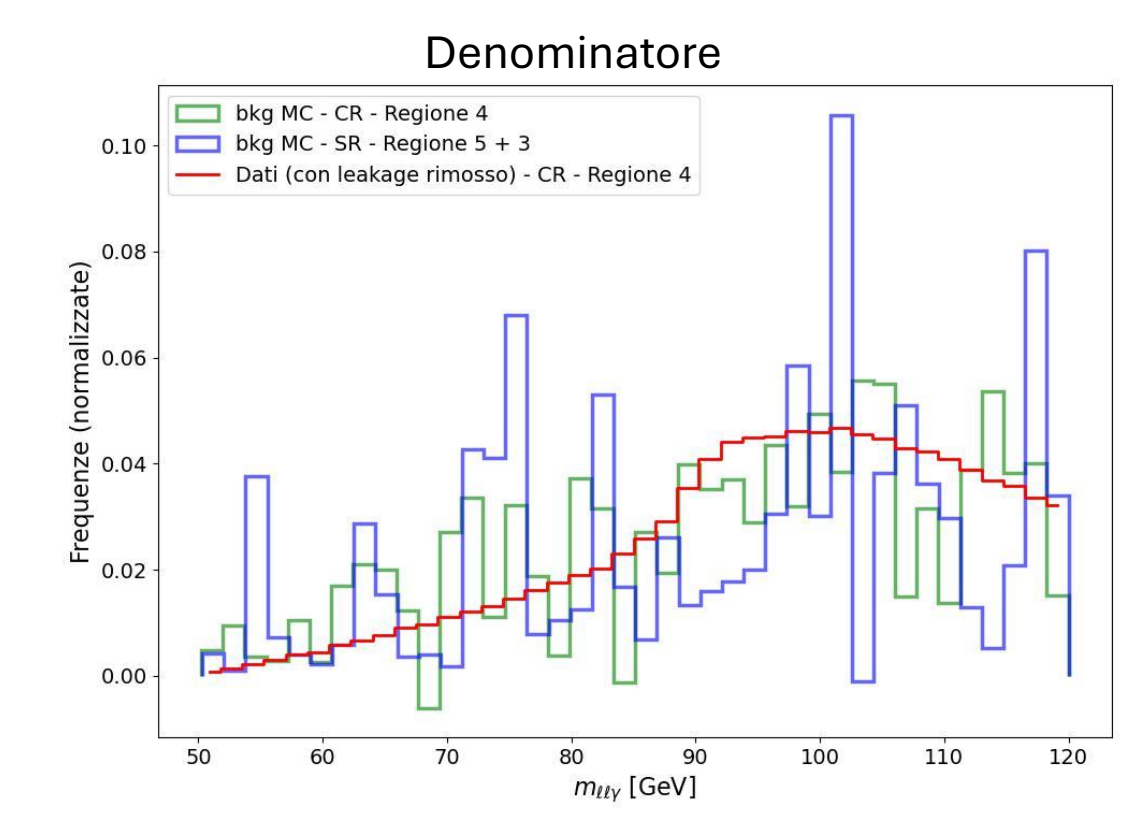
RSITA

Fit simultanei in SR e CR

- Confronto tra:
- bkg MC in SR
- bkg MC in CR e
- > dati nella CR (con il leakage rimosso)









Fit simultanei in SR e CR

Binning in $\eta e P_T$

$$\eta = (0, 0.6), (0.6, 1.37), (1.52, 1.81), (1.81, 2.37)$$

$$P_T = (10, 15), (15, 20), (20, 25), (25, 30), (30, 35), (35, 40), (40, 50), (50, 70), (70, 150)$$
 GeV

$$N_{SR,i}^{model} = \mu_{SR} \cdot N_{sig,SR,i}^{MC} + \kappa_{bkg} \cdot \gamma_i \cdot N_{CR,i}^{data}$$

Modello statistico CR:

$$N_{CR,i}^{model} = \mu_{CR} \cdot N_{sig,CR,i}^{MC} + \gamma_i \cdot N_{CR,i}^{data}$$
2

• Channels: SR e CR

- Samples: segnale e background
- Modifiers:
 - \triangleright Normfactor: μ_{SR} , μ_{CR} e κ_{bkg}
 - \triangleright Shapefactor: γ_i

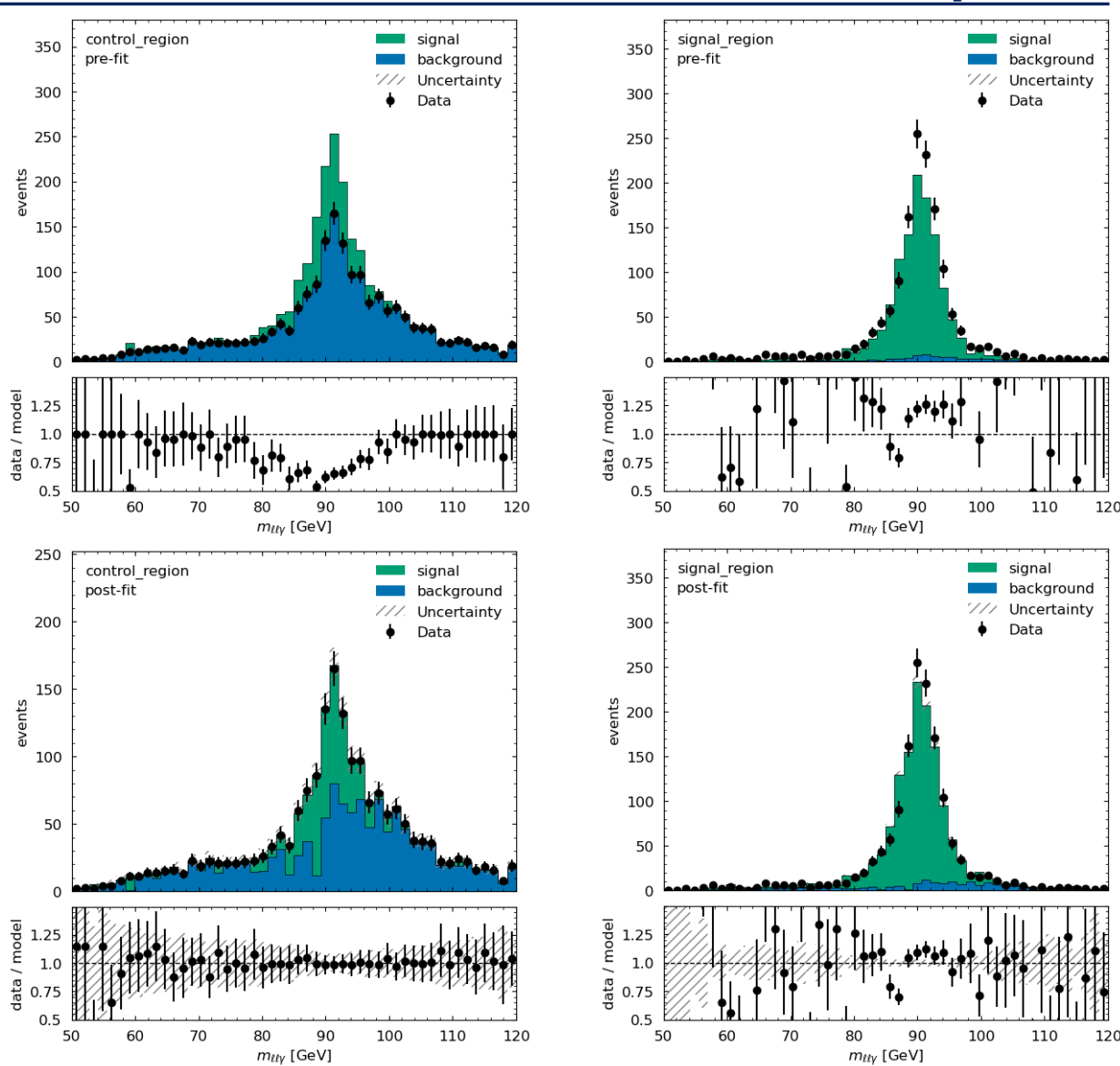
<u>Istogrammi importati:</u>

- $N_{sig,SR,i}^{MC}$: MC in SR \blacksquare 1
- $N_{sig,CR,i}^{MC}$: MC in CR \square 2
- $N_{CR,i}^{data}$: Dati in CR **3**
- $N_{SR,i}^{data}$: Dati in SR 4

Confronto tra Data e Model:

 $m_{\ell\ell\gamma}$ [GeV]

Fit simultanei in SR e CR – esempio bin $\eta = [0, 0, 6]$ e $P_T = [10, 15]$



PREFIT				
Canale	Campione	Yield	Errore	
CR	Background	1855.0000	± 43.0697	
CR	Segnale	581.2748	± 24.1096	
SR	Background	92.7500	± 9.6306	
SR	Segnale	1138.8173	± 33.7463	

POSTFIT				
Canale	Campione	Yield	Errore	
CR	Background	1275.0542	± 43.0632	
CR	Segnale	581.2748	± 24.1096	
SR	Background	187.9898	± 23.3245	
SR	Segnale	1269.1621	± 40.3163	

$$\mu_{SR} = 1.1145 \pm 0.0354$$
 $\kappa_{bkg} = 0.1474 \pm 0.0186$

Efficienza dei dati

- Calcolo Efficienza: $\epsilon_{data,i} = \frac{Y_{ield,i}^{nu...}}{Y_{ield,i}^{den}}$
- $\sigma_{data,i}^{stat}$ Errore statistico attraverso metodo di Clopper–Pearson

Errori sistematici:

$$1. \ m_{ll\gamma} \in [50, 120] \, \text{GeV} \implies m_{ll\gamma} \in [55, 115] \, \text{GeV} \implies \epsilon_{data}^{int} \implies \sigma_{sist,i}^{int} = |\epsilon_{data,i}^{int} - \epsilon_{data,i}|$$

1. $m_{ll\gamma} \in [50, 120] \, \text{GeV} \implies m_{ll\gamma} \in [55, 115] \, \text{GeV} \implies \epsilon_{data}^{int} \implies \sigma_{sist,i}^{int} = |\epsilon_{data,i}^{int} - \epsilon_{data,i}|$ 2. Regione 4 come CR \implies Regione 6 come CR $\implies \epsilon_{data}^{CR} \implies \sigma_{sist,i}^{CR} = |\epsilon_{data,i}^{CR} - \epsilon_{data,i}|$

$$\sigma_{data,i}^{sist} = \sqrt{(\sigma_{sist,i}^{int})^2 + (\sigma_{sist,i}^{CR})^2}$$

Modello Standard

LHC/ATLAS

ricostruzione e/ γ

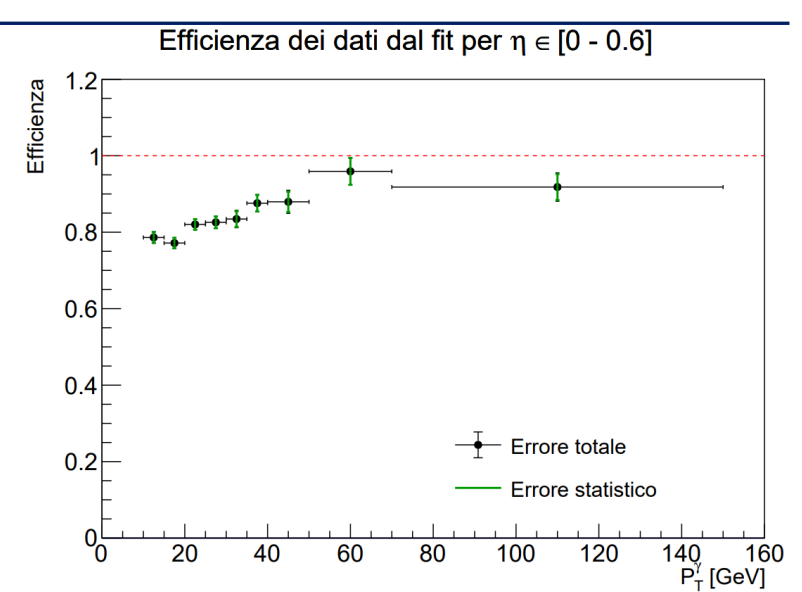
Calcolo degli Yield

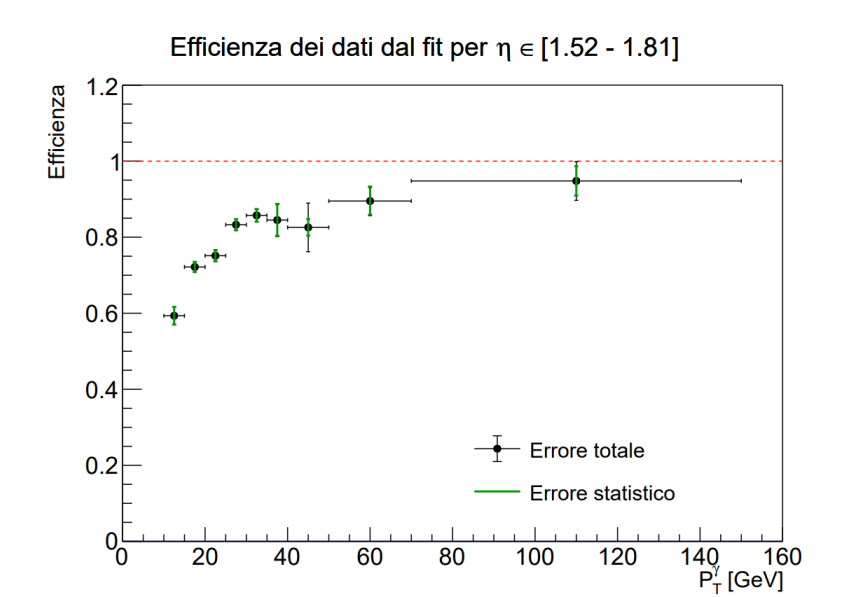
Misura degli SF

conclusione

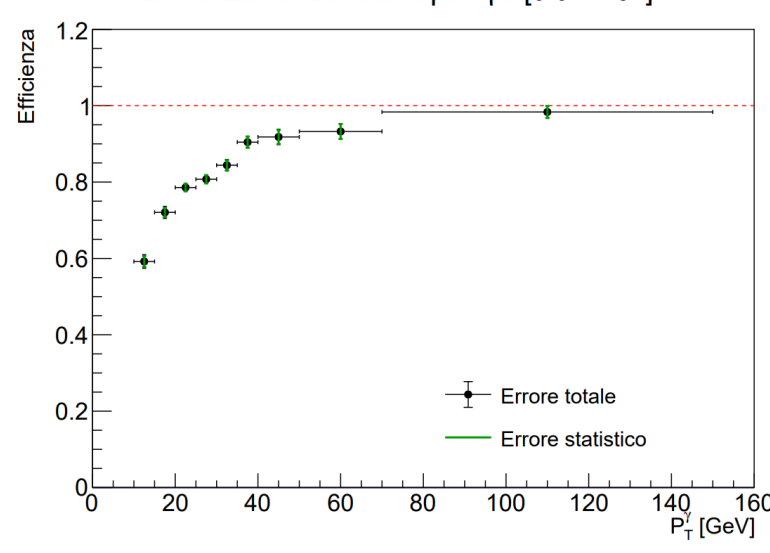
12

Efficienza dei dati

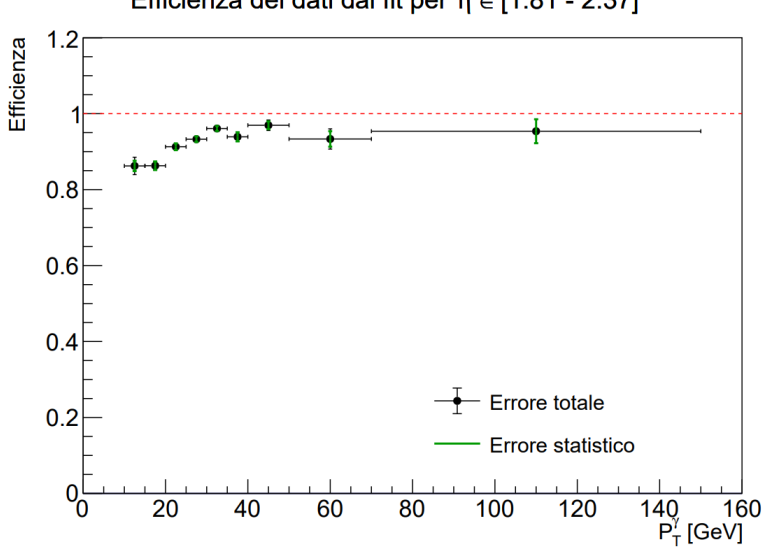




Efficienza dei dati dal fit per $\eta \in [0.6$ - 1.37]



Efficienza dei dati dal fit per $\eta \in [1.81 - 2.37]$





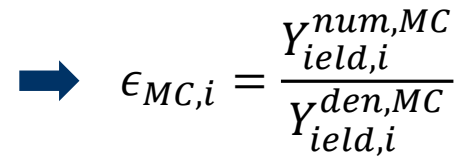
Efficienza del Monte Carlo

Eventi di decadimento simulati con MC

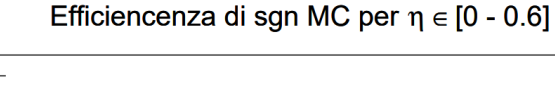


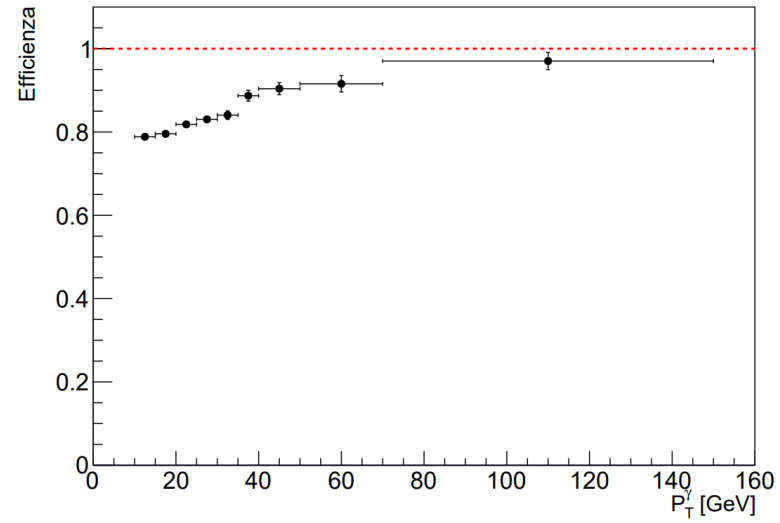
SR a numeratore: $Y_{ield,i}^{num,MC}$

SR a denominatore: $Y_{ield,i}^{den,MC}$

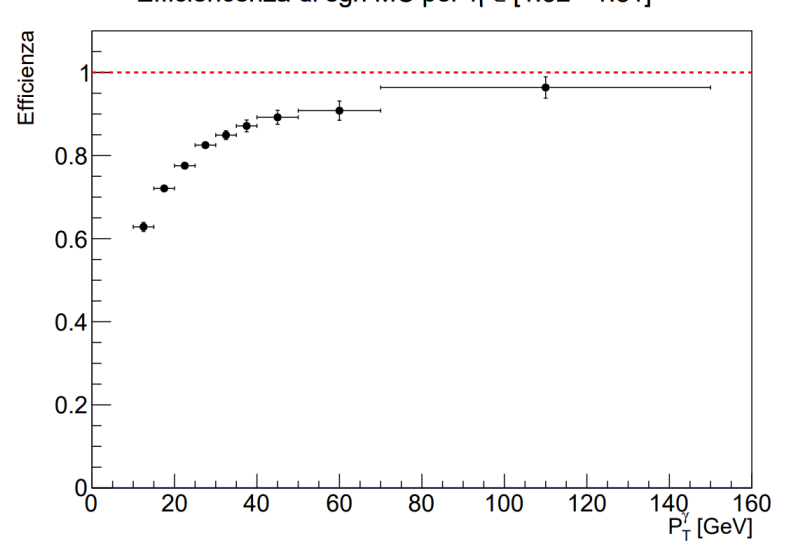


 $\rightarrow \sigma_{MC,i}^{stat}$ Clopper–Pearson

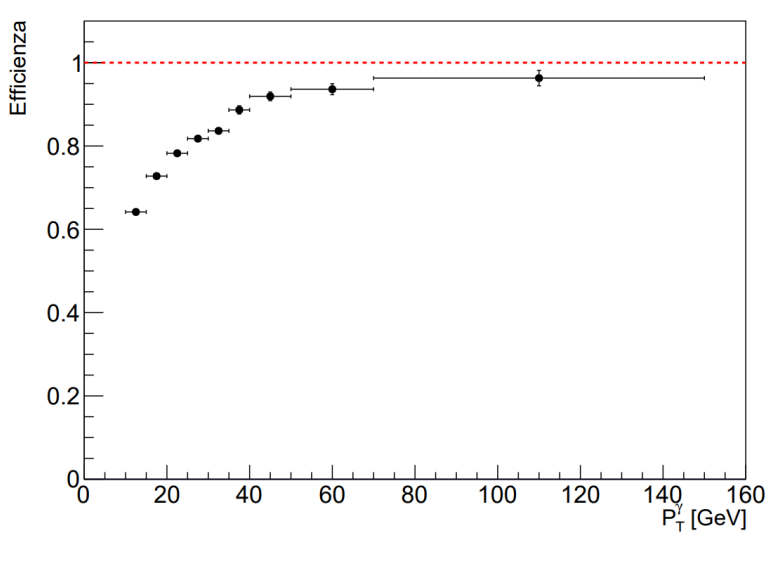




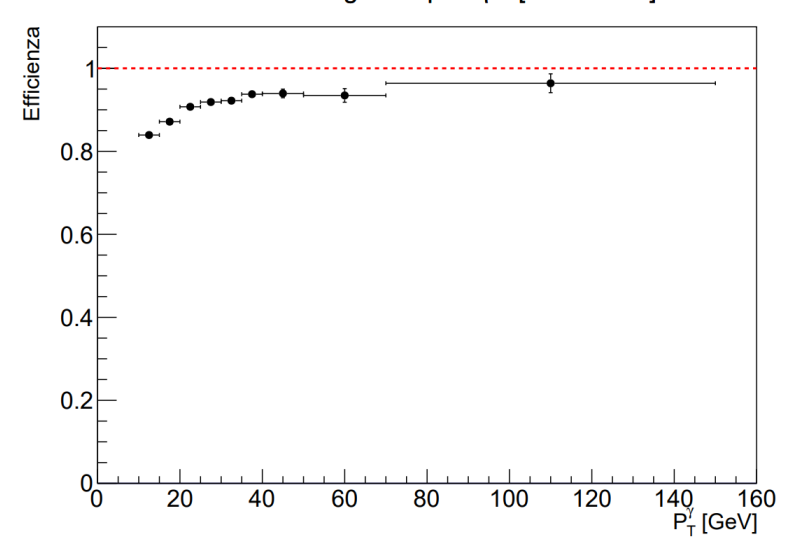
Efficiencenza di sgn MC per $\eta \in [1.52 - 1.81]$



Efficiencenza di sgn MC per $\eta \in [0.6$ - 1.37]



Efficiencenza di sgn MC per η ∈ [1.81 - 2.37]





Misura Scale Factors

$$SF_i = \frac{\epsilon_i^{data}}{\epsilon_i^{MC}}$$

Errori su SF:

$$\sigma_{data,i}^{stat,SF} = \frac{\sigma_{data,i}^{stat,i}}{\epsilon_{data,i}} \cdot SF_{i}$$

$$\sigma_{data,i}^{sist,SF} = \frac{\sigma_{data,i}^{sist}}{\epsilon_{data,i}} \cdot SF_{i}$$

$$\sigma_{data,i}^{stat,SF} = \frac{\sigma_{MC,i}^{sist,SF}}{\epsilon_{data,i}} \cdot SF_{i}$$

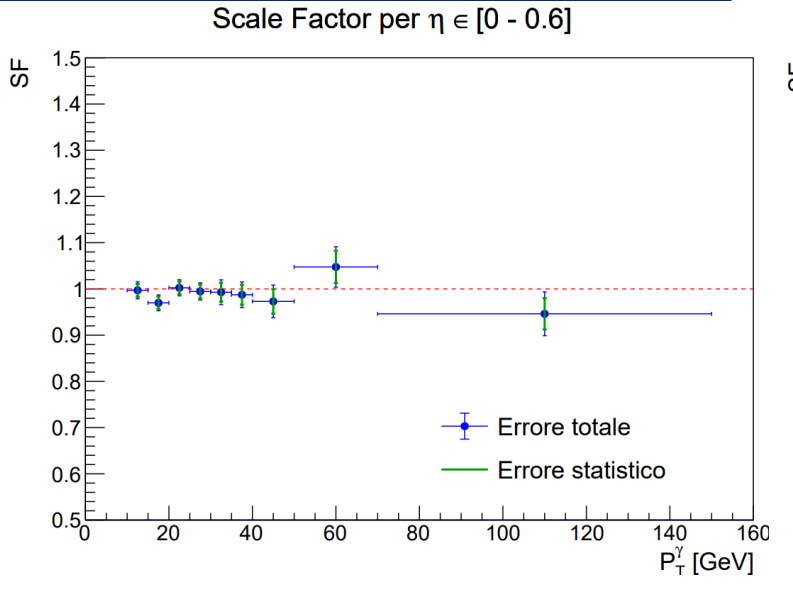
$$\sigma_{sist,SF}^{stat,SF} = \frac{\sigma_{MC,i}^{stat,SF}}{\epsilon_{data,i}} \cdot SF_{i}$$

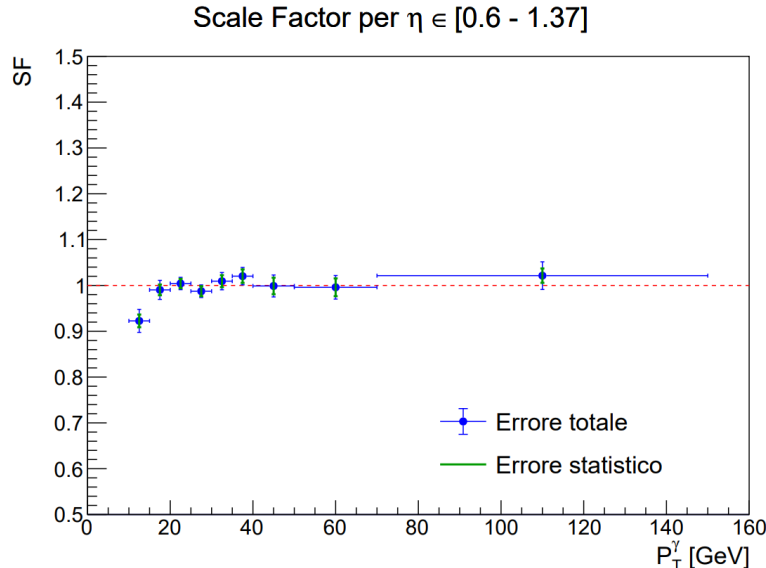
$$\sigma_{tot,i}^{SF} = \sqrt{(\sigma_{sist,i}^{SF})^2 + (\sigma_{data,i}^{stat,SF})^2}$$

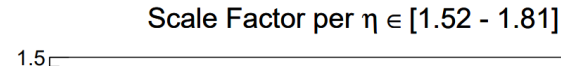
Modello Standard

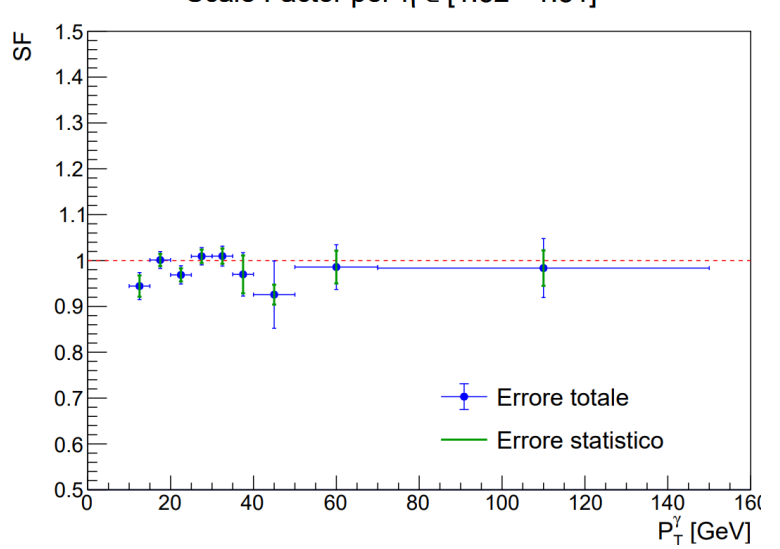
Calcolo Scale Factors

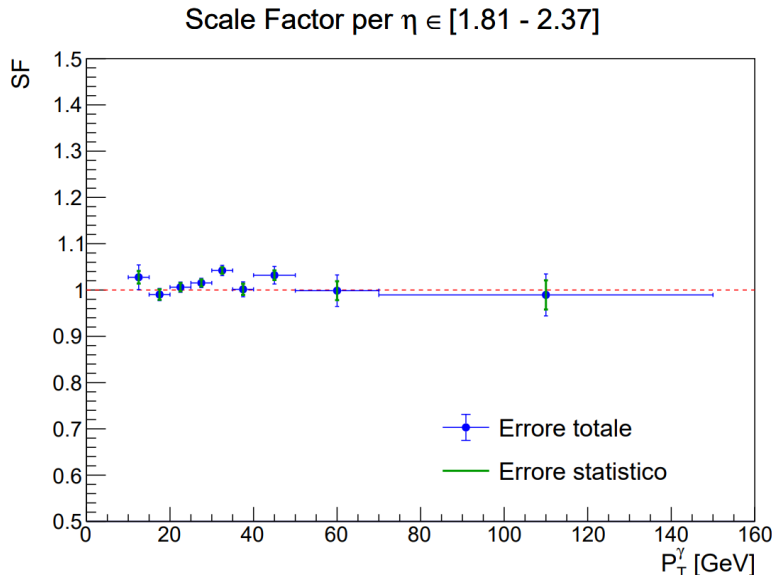












THE RESTRICT OF THE PARTY OF TH

Conclusioni

- Dati relativi al decadimento: $Z \to l^+ l^- \gamma$
- Misura ϵ_{data} e dell'errore composto dai contributi σ_{data}^{stat} e σ_{data}^{sist}
- Misura di SF con il proprio errore composto dai contributi:

LHC/ATLAS

- valori compatibili con 1 entro $\sigma^{tot,SF}$
- $\sigma^{tot,SF}$ varia da 0.66% 7.75%
- $\sigma^{tot,SF}$ composto da:
 - $ightarrow \sigma^{stat,SF}$: dato dal σ^{stat}_{data} sull'efficienza, risulta dominante a basso P_T
 - $ightharpoonup \sigma^{sist,SF}$: dato dal σ^{sist}_{data} e σ^{stat}_{MC} , risulta dominante a alto P_T

Possibili applicazioni:

- Analisi che coinvolgono fotoni nello stato finale
- Ricerca della verifica sperimentale di HH $\rightarrow \gamma \gamma b \bar{b}$, previsto da MS

Modello Standard LHC/ATLAS ricostruzione e/ γ Calcolo degli Yield Misura degli SF conclusione 17

Grazie per l'attenzione

Backup Slides

INDICE

1) Il large Hadron Collider - LHC

2) Il rivelatore ATLAS

3) Ricostruzione di Elettroni e Fotoni con il rivelatore ATLAS

4) Algoritmi di classificazione con Machine Learning

Classificazione di Elettroni e Fotoni

6) Conclusioni





Inner Detector

• Pixel:

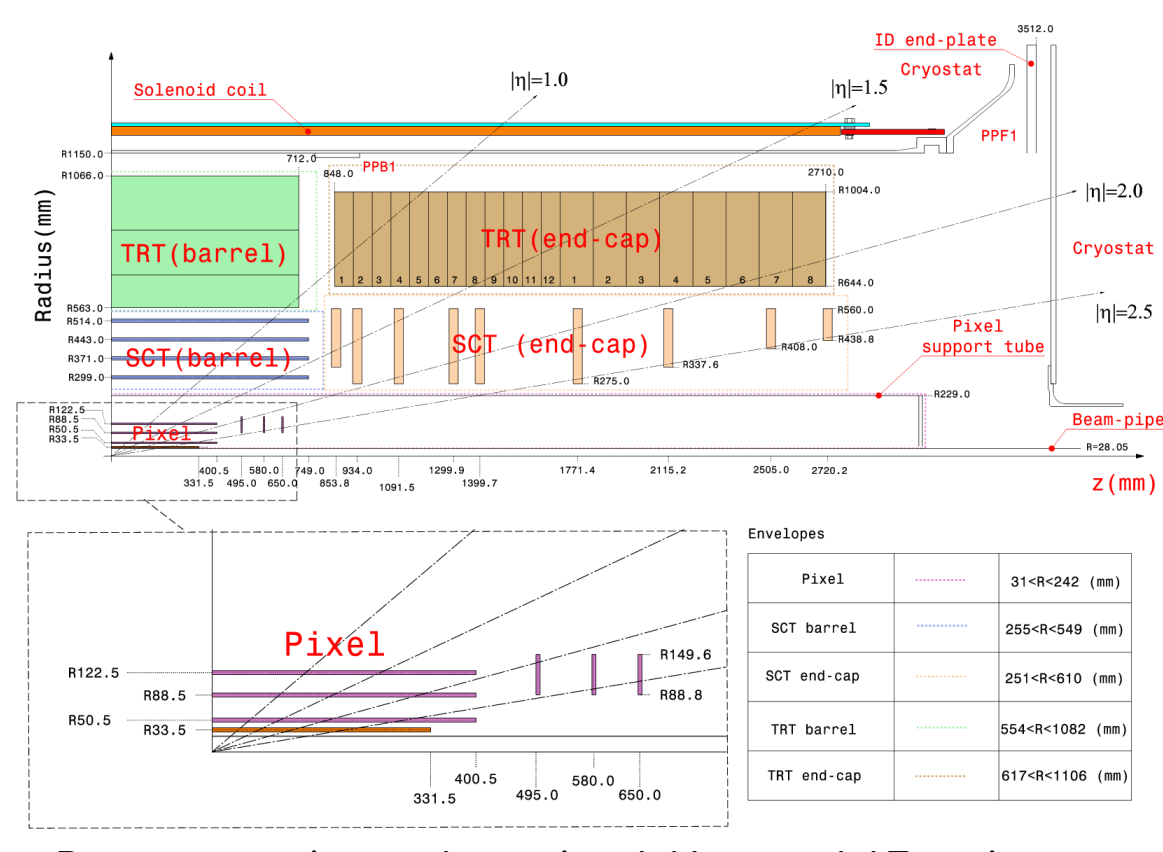
 Quando una particella carica passa attraverso il silicio, ionizza gli atomi del materiale, creando coppie elettronelacuna. Questi segnali elettrici vengono raccolti dai pixel e convertiti in dati digitali che rappresentano il percorso della particella

SCT

- Simile al Pixel Detector, le particelle ionizzano il silicio creando coppie elettrone-lacuna. Le strisce di silicio, disposte perpendicolarmente tra loro, raccolgono questi segnali per tracciare il percorso della particella.

TRT

- Quando una particella carica passa attraverso i tubi, provoca ionizzazione del gas. I segnali elettrici generati vengono raccolti dai fili centrali nei tubi. Inoltre, le particelle relativistiche producono radiazione di transizione quando attraversano i materiali di rivestimento, che può essere rilevata per distinguere tra particelle leggere e pesanti.

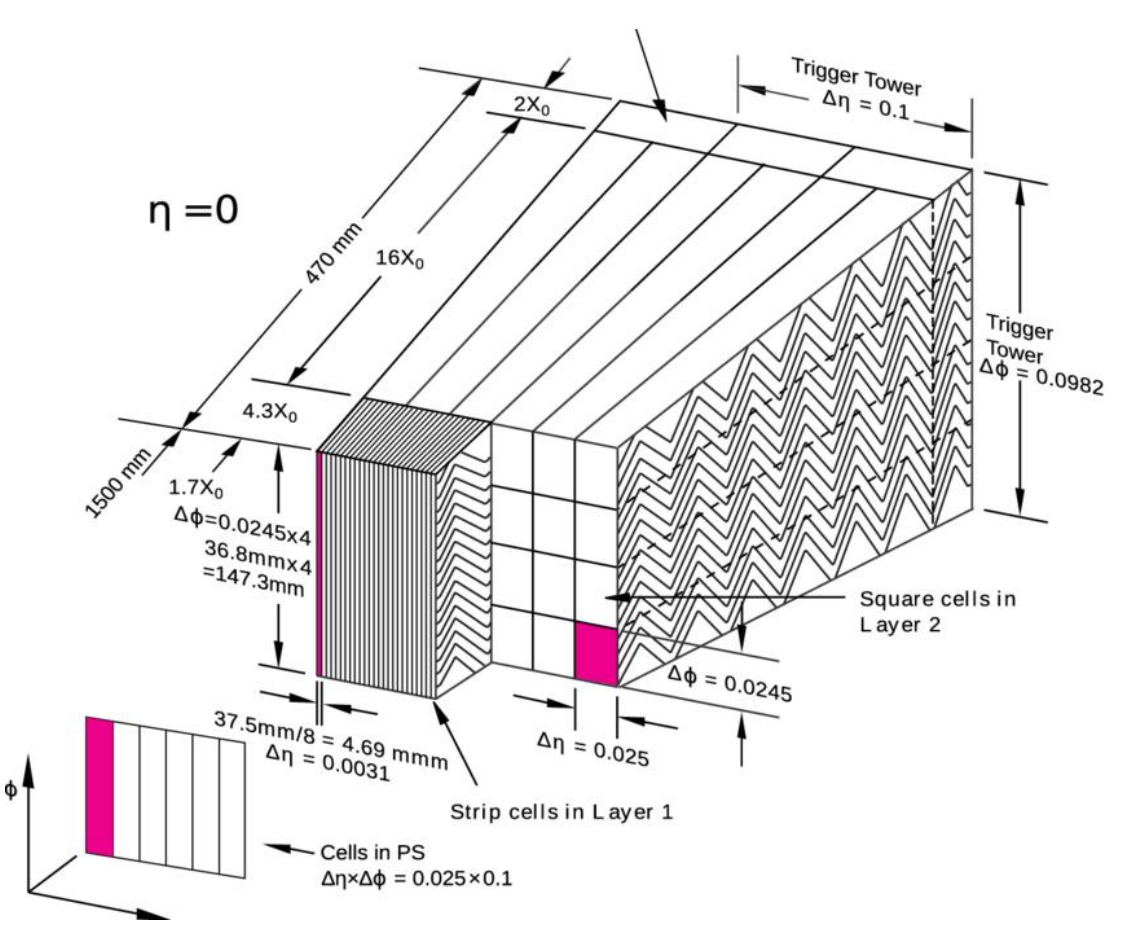


Rappresentazione schematica del Layout del Tracciatore Interno – Inner Detector



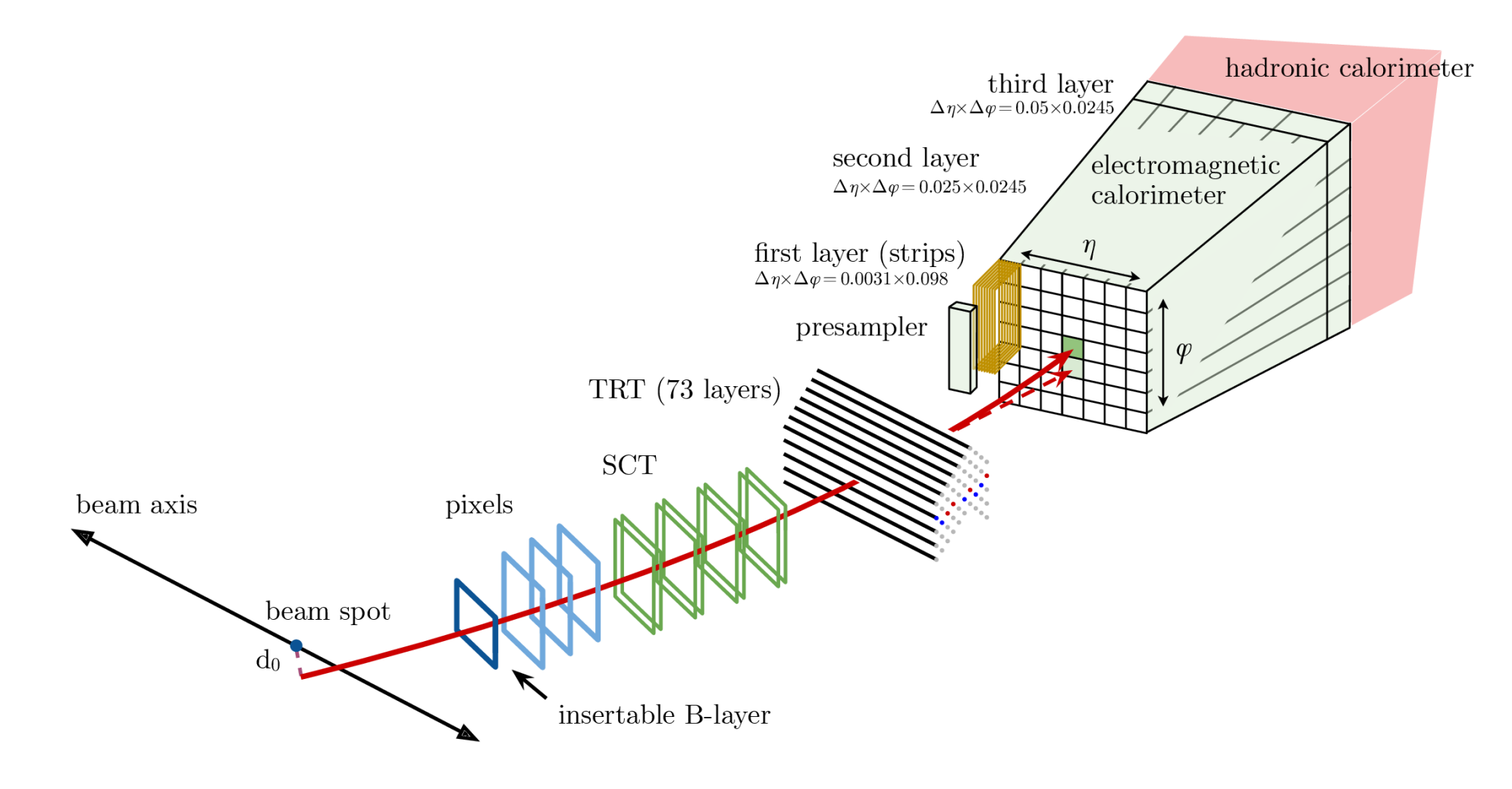
Calorimetro Elettromagnetico

- Quando una particella elettromagnetica entra nel calorimetro, interagisce con il materiale assorbitore (Pb), producendo una cascata di particelle secondarie.
- Queste particelle secondarie ionizzano il materiale attivo, producendo segnali (luce o elettricità).
- Il materiale attivo è composto da argon liquido (LAr).
- La forma a fisarmonica consente una copertura quasi continua senza grandi spazi vuoti ("zone morte") tra i moduli del calorimetro



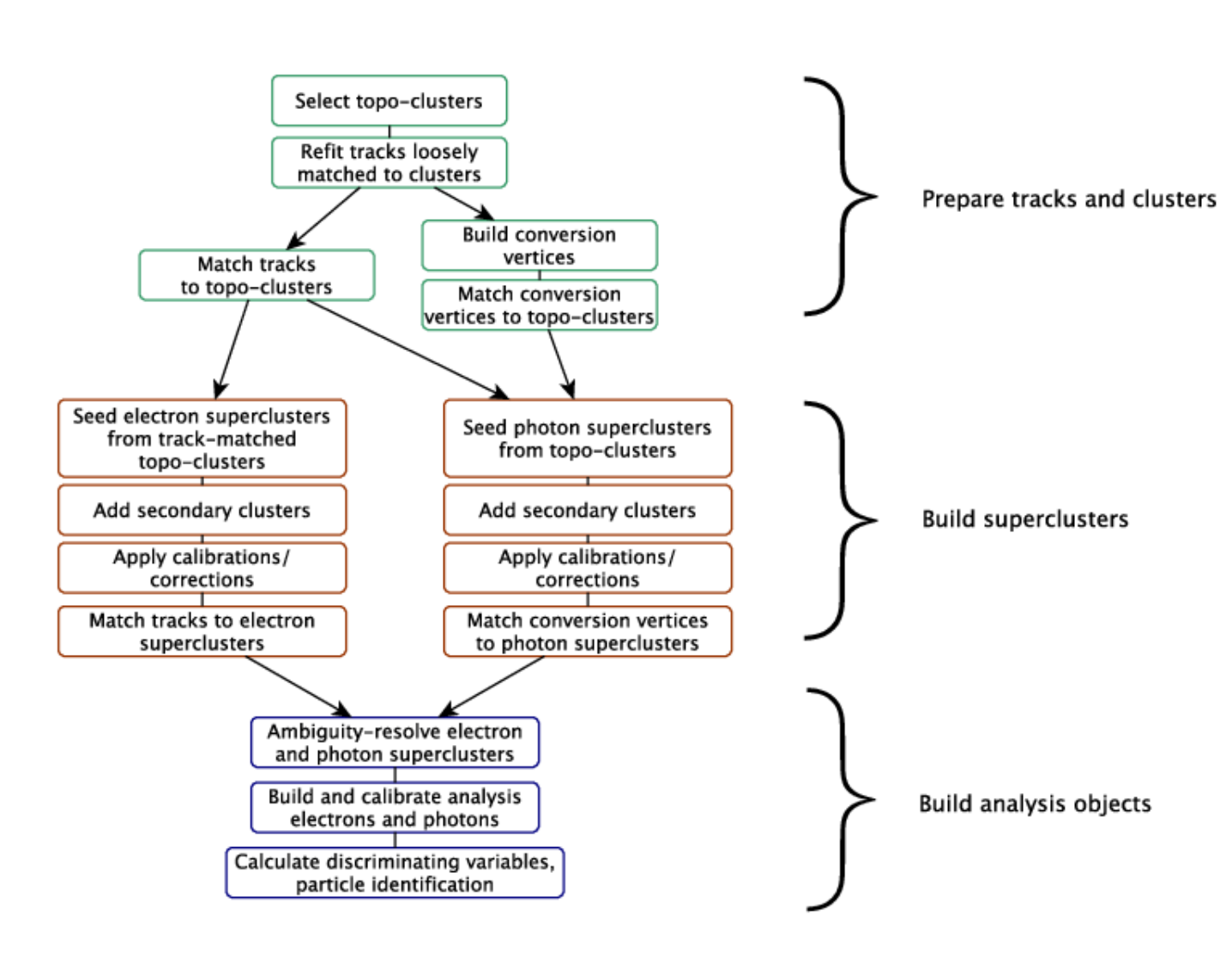


Ricostruzione di una Particella





Ricostruzione di Elettroni e Fotoni



- Ricostruzione: molto complicata.
- e⁻ definito come un oggetto costituito da un cluster con una traccia associata
- γ può essere di due tipi :

Fotone convertito: cluster associato ad un vertice di conversione

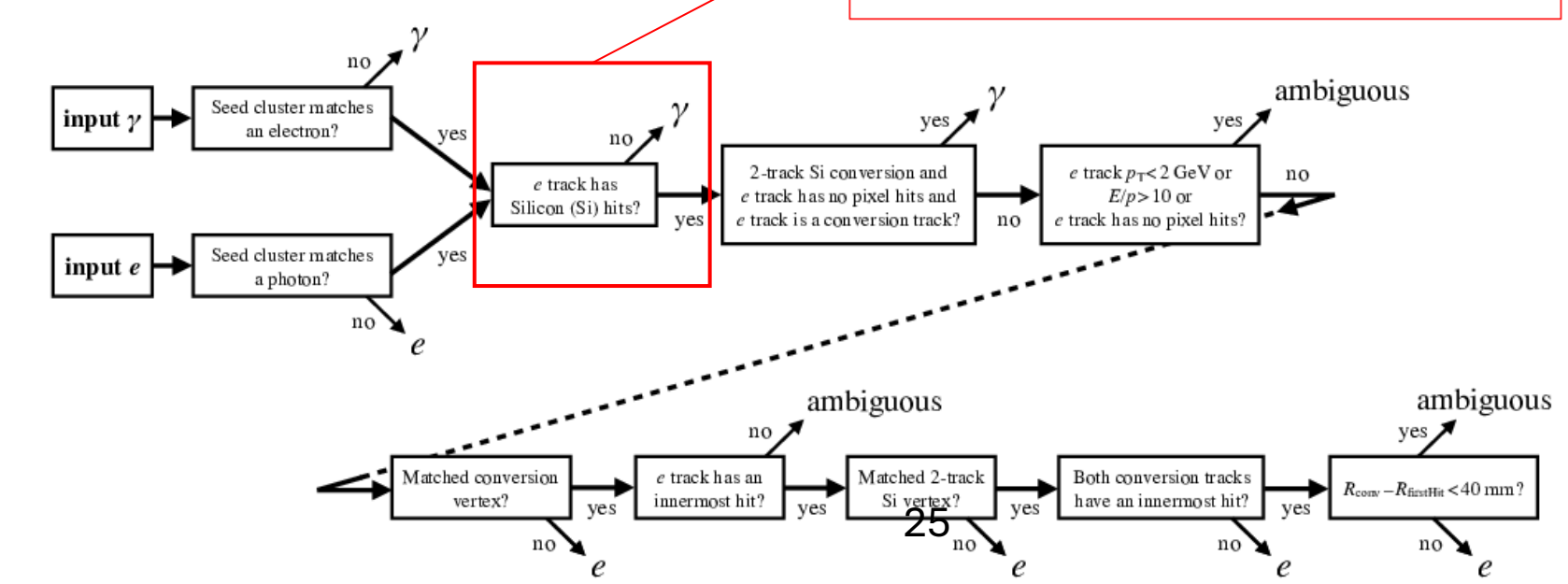
Fotone non convertito: cluster non associato né ad una traccia, né ad un vertice di conversione.



Ambiguity Resolver

- Dopo il rilevamento e l'abbinamento di tracce/ vertici di conversione e cluster di energia: come ricostruisco questi segnali?
- Algoritmo cut-based che classifica i candidate elettroni e fotoni come:
 - Elettroni
 - Fotoni
 - Ambigui, che vengono ricostruiti sia come elettroni che come fotoni

A questo livello, in un campione di Veri Fotoni si trova ~35% di ambigui. In un campione di Veri Elettroni ~8.7% Se una particella non ha tracce nel rilevatore SCT dell'ID difficilmente sarà un elettrone



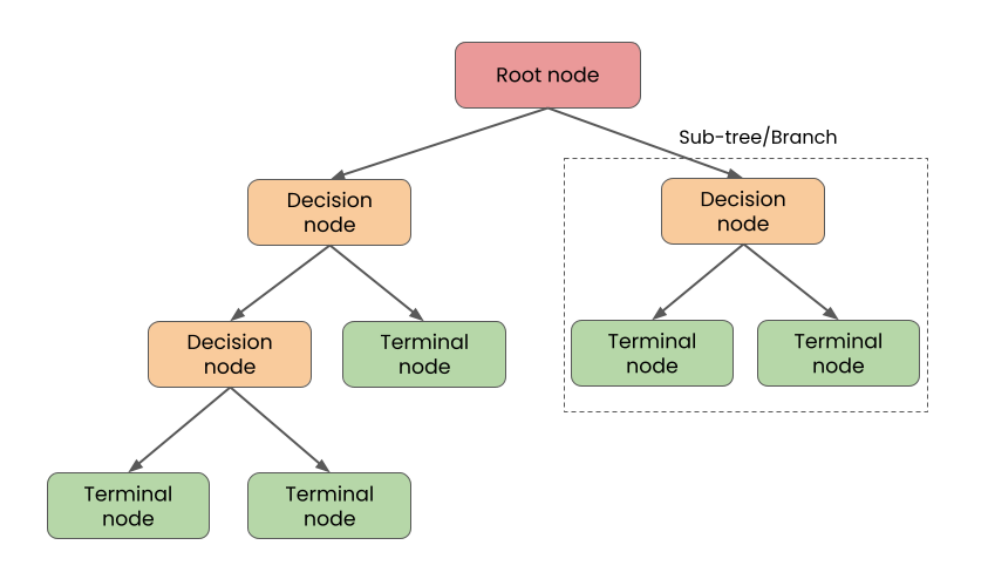


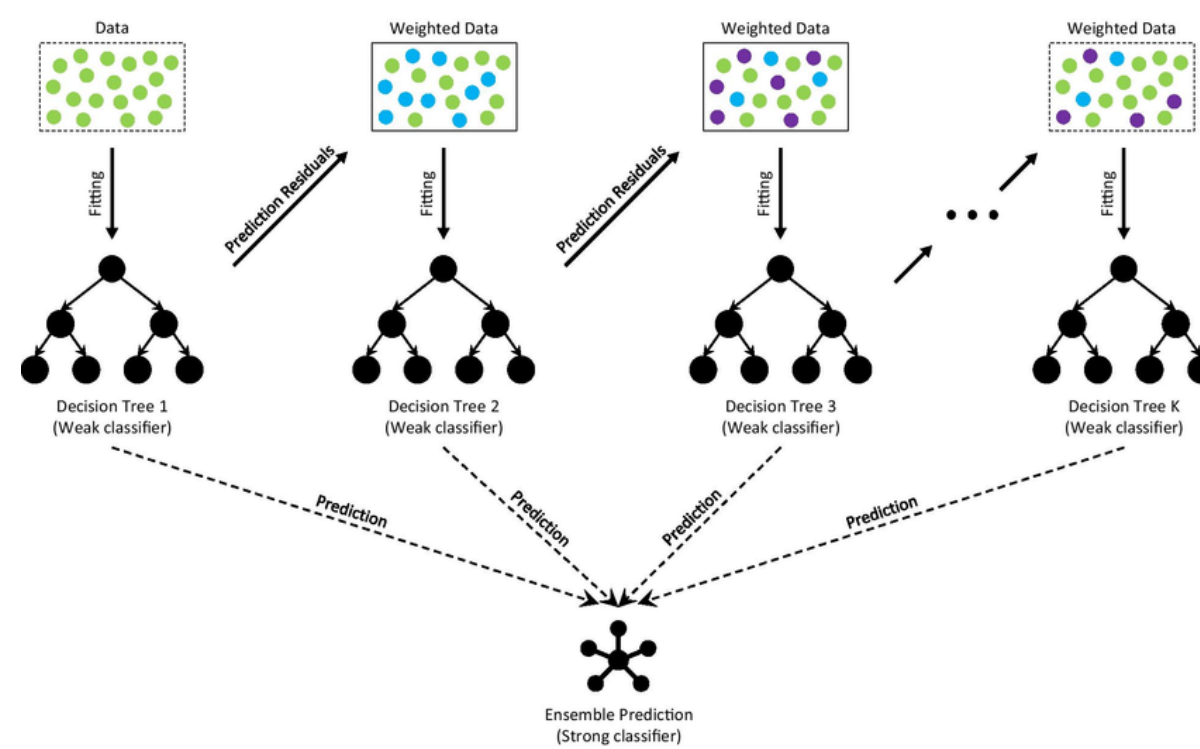
Gradient Boosted Decision Tree (GBDT)

- Tecnica di Machine learning che prevede siano note:
 - Variabili di input (distintive)
 - Vero output (etichette)

Supervised Learning

$$\mathcal{D} = \{(x_i, y_i)\} (|\mathcal{D}| = n, x_i \in \mathbb{R}^n, y_i \in \mathbb{R})$$





• Il GBDT si basa sul lavoro coordinato di un insieme di **alberi di decisione**



Gradient Boosted Decision Tree (GBDT)

• Cosa vuol dire **Gradient Boosted?** Gli alberi decisionali non sono costruiti in maniera casuale ma seguendo il gradiente della **funzione obiettivo regolarizzata** \mathcal{L}

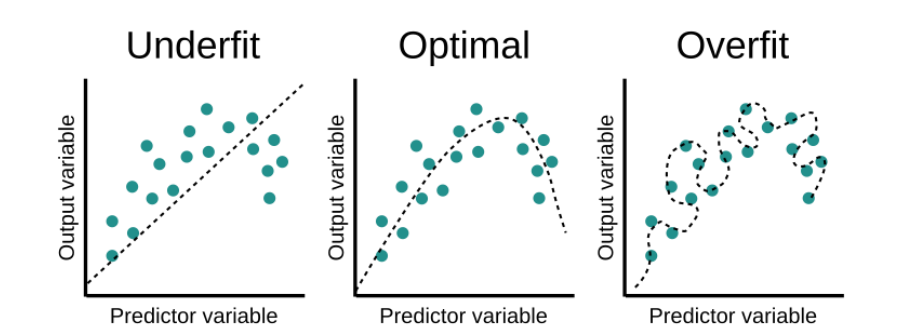
$$\mathcal{L} = \sum_{i} l(\hat{y}_{i}, y_{i}) + \sum_{k} \Omega(f_{k})$$
$$\Omega = \gamma T + \frac{1}{2} \lambda_{k} ||\omega_{k}||^{2}$$

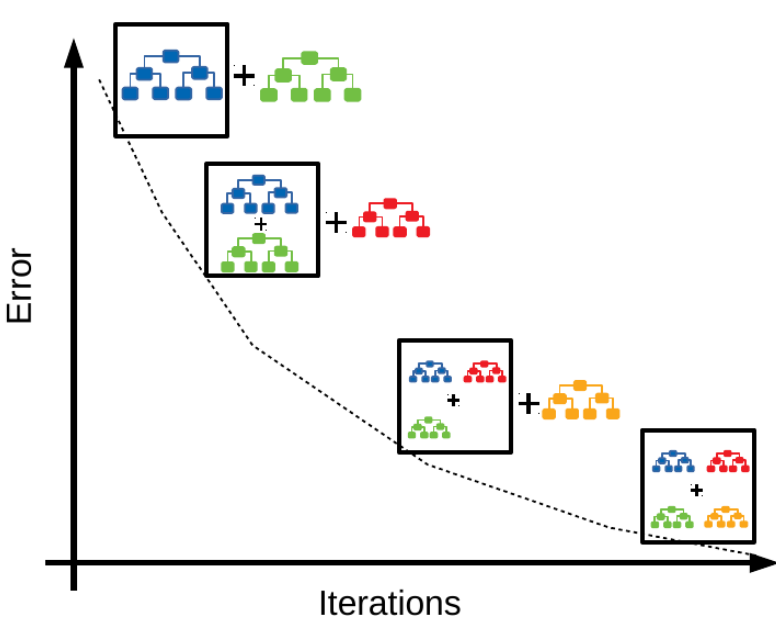
Ω :

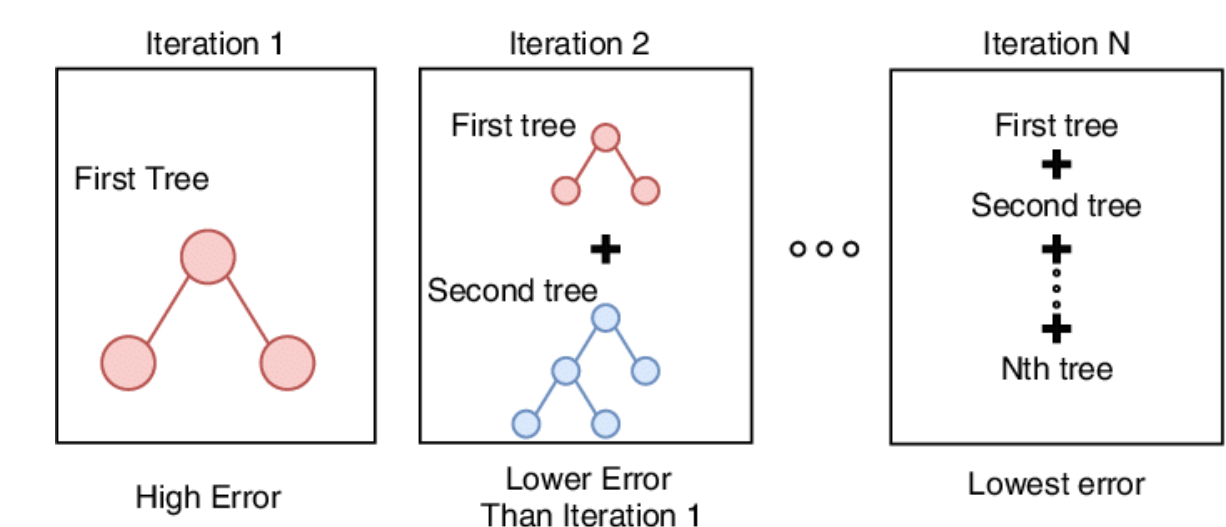
- Penalizza la complessità del modello
- Previene overfitting

$l(\widehat{y}_i, y_i)$:

- Loss function
- Errore previsione-vero output ('residuo')











- Funzione di costo (loss function)
- Fornisce una quantificazione diretta della "distanza" tra le probabilità predette e quelle reali, permettendo ai modelli di apprendimento automatico di migliorare la loro accuratezza attraverso l'ottimizzazione iterativa durante il processo di addestramento.
- Se consideriamo due distribuzioni di probabilità P (la distribuzione vera) e Q (la distribuzione predetta dal modello), la cross entropy H(P,Q) è definita come:

$$H(P,Q) = -\sum_{x} P(x) \log Q(x)$$



Perché è utile classificare elettroni e fotoni?

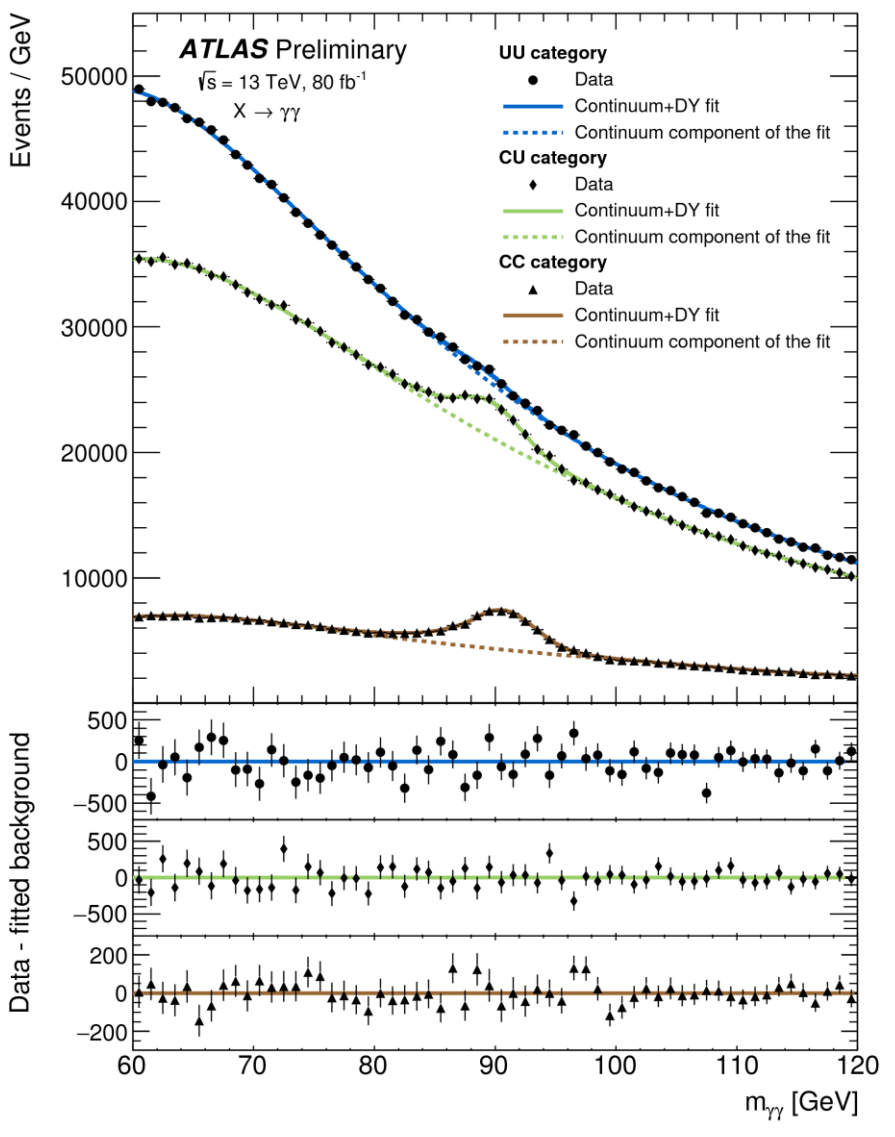
- Eccesso di eventi potenzialmente compatibili con H $\rightarrow \gamma \gamma$ a 95 GeV (bosone di Higgs addizionale)
- Contaminazione da parte di Z→ e+ e- a 90
 GeV
- → Necessaria migliore classificazione

→ Risposta della mia tesi:

Gradient Boosted Decision Tree è uno strumento potenzialmente molto utile per rispondere a questo bisogno.

→Applicazione dell'algoritmo su un campione di particelle simulate con metodi MonteCarlo (MC).



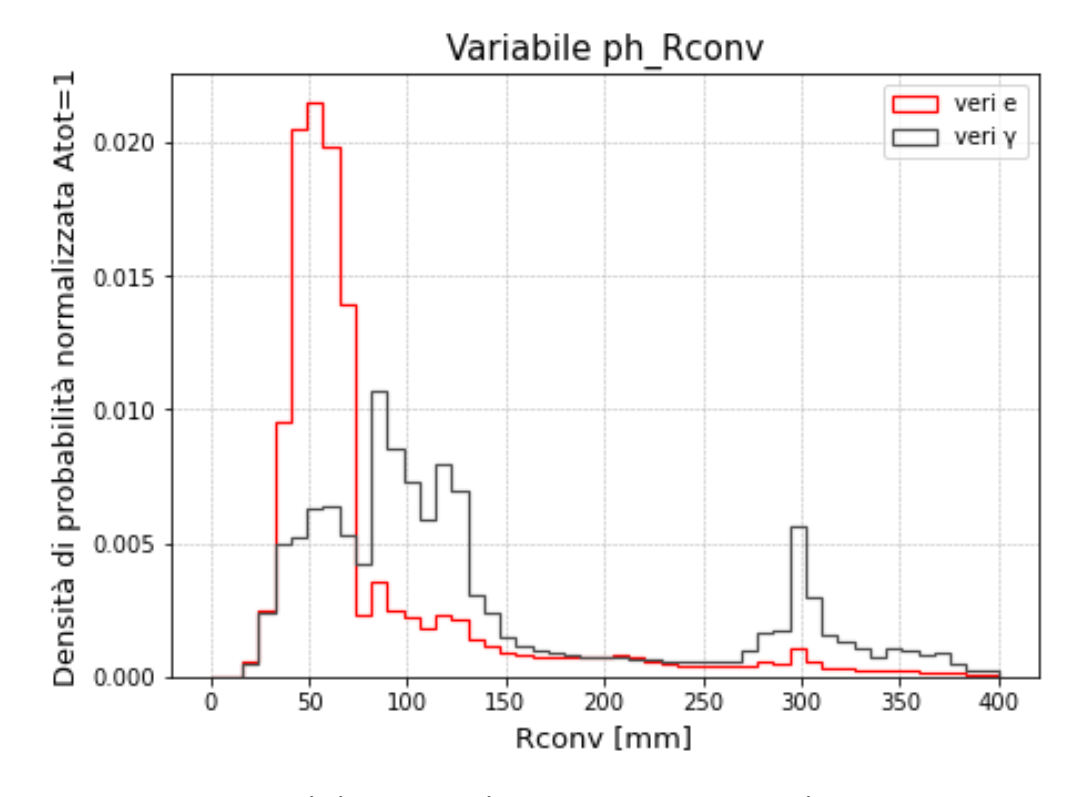




Ulteriore esempio di variabile discriminante

21 Variabili Discriminanti:

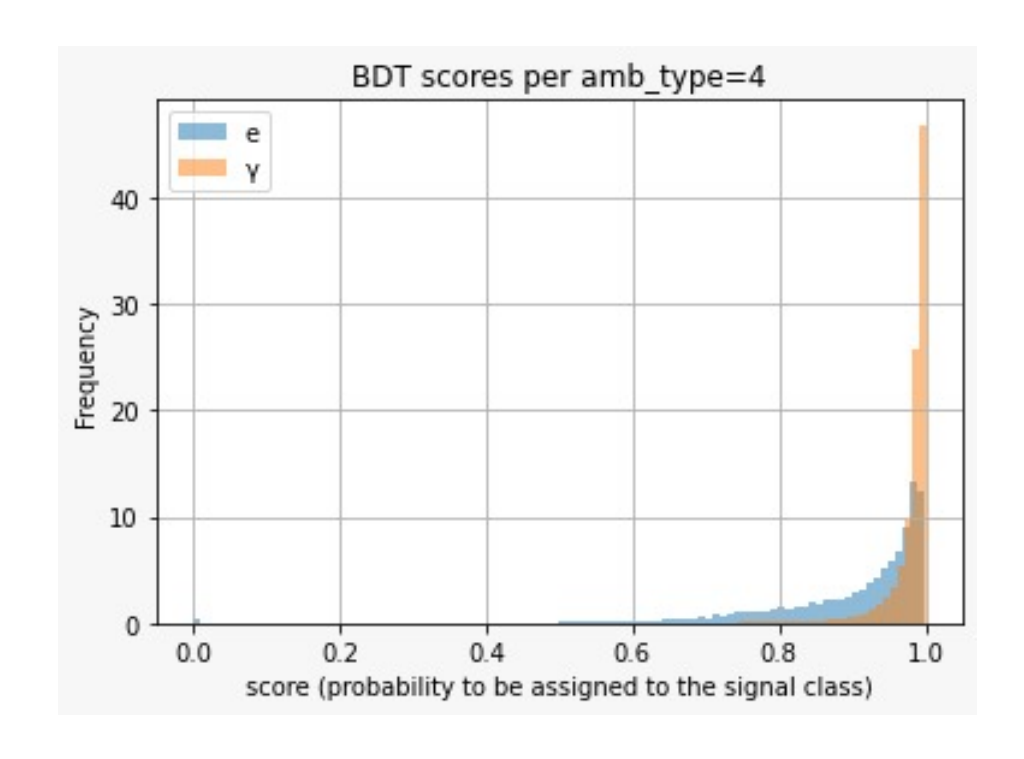
- Variabili generali (cl_eta, cl_pt)
- Variabili calcolate nella ricostruzione di elettroni
 - Hits nei rivelatori Pixel ed SCT
 - Qualità della traccia
- Variabili calcolate nella ricostruzione di fotoni
 - Variabili associate alla conversione
 - Hits e P_T delle tracce associate al fotone convertito

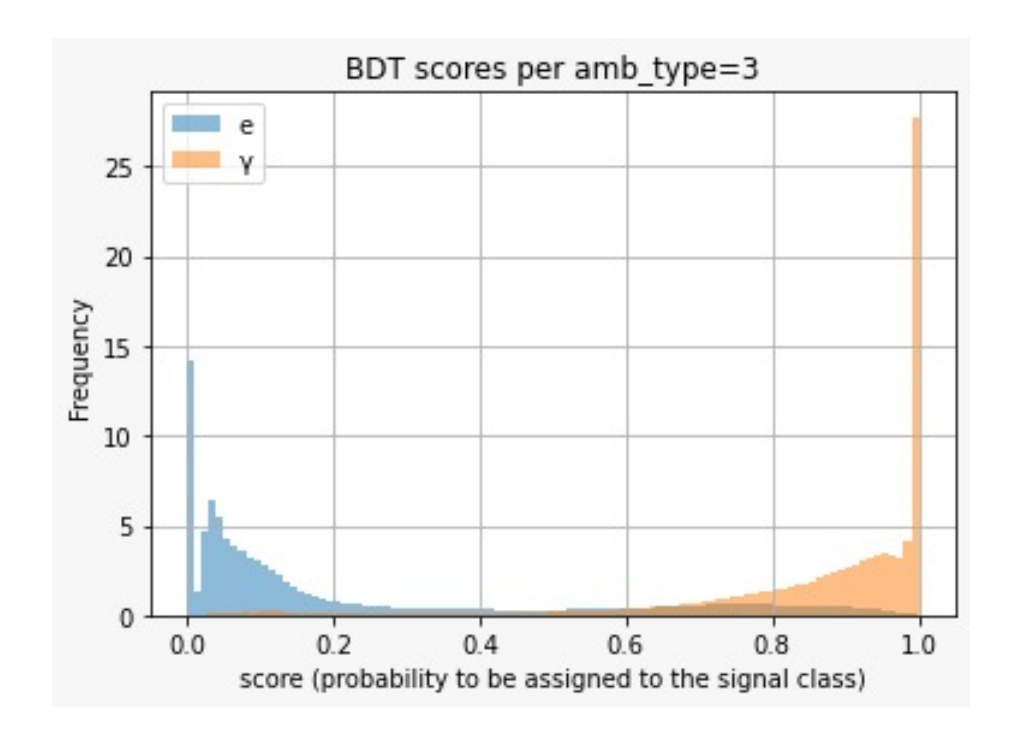


Posizione radiale della conversione



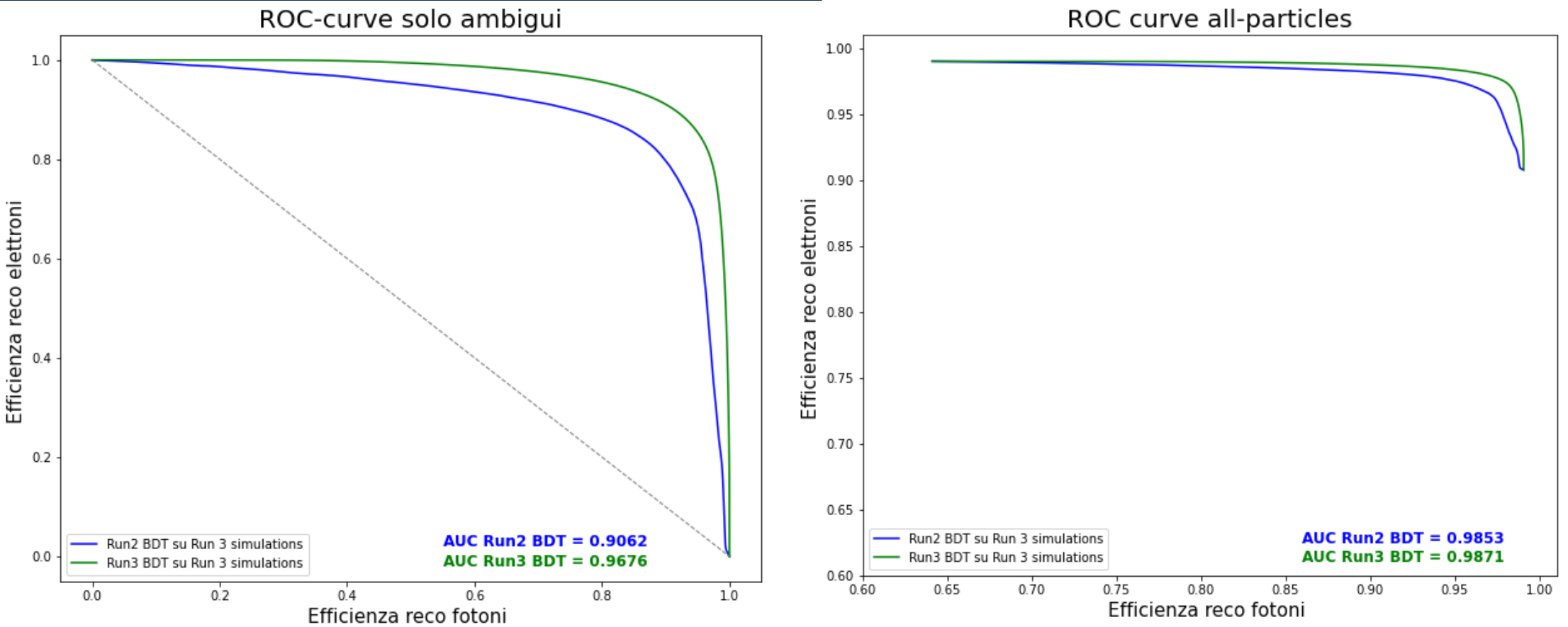
BDT score per amb_type







Classificazione di elettroni e fotoni

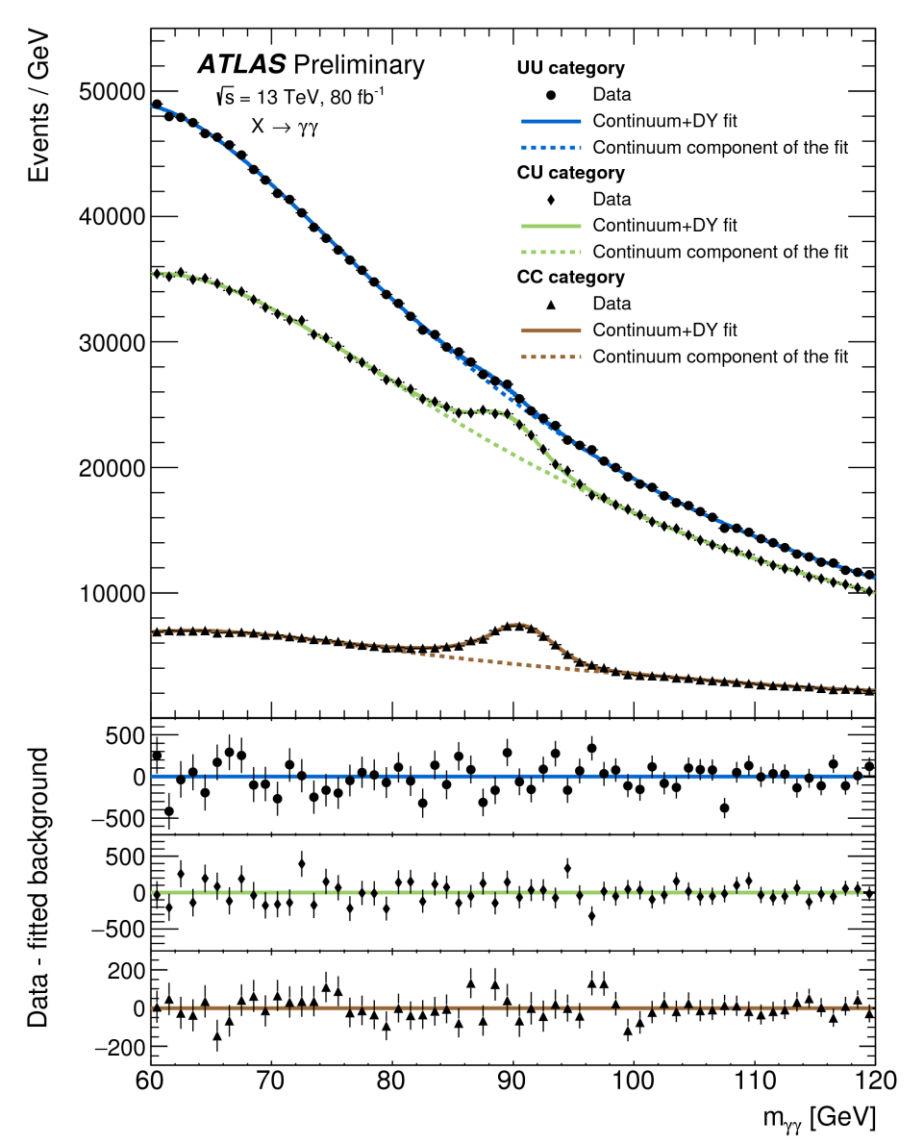


- **ROC Curve** (Receiver Operating Characteristic): a seconda della soglia che scelgo per la classificazione binaria ottengo un'efficienza per le particelle classificate come elettroni o come fotoni. Valutazione con **AUC**(Area Under the Curve).
- Run 2 BDT/ Run 3 BDT : modello allenato rispettivamente su campione MC con parametri della presa dati Run 2 o di Run 3.



Conclusioni

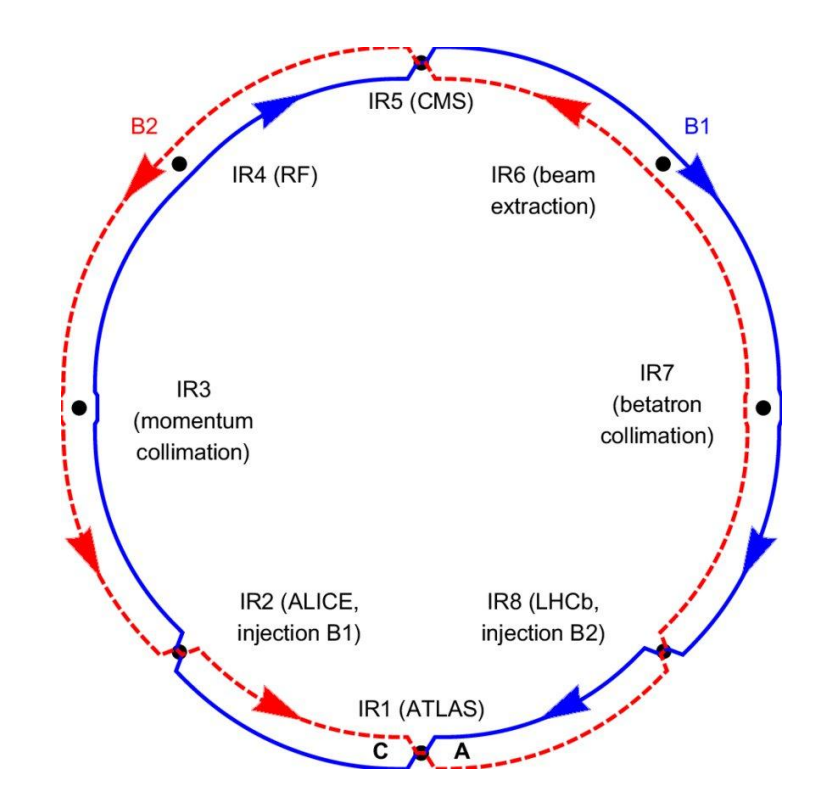
- Ulteriori sviluppi nello studio dell'argomento trattato dalla mia tesi potrebbero concentrarsi sull'applicazione del nuoco modello:
- Il grafico a destra mostra un picco di eventi ricostruistruiti come γ a 90 Gev. Questo picco deriva dalla frazione di elettroni ricostruiti come fotoni provenienti dal decadimento Z→ee
- L'effetto della BDT dovrebbe essere quello di diminuire l'altezza del picco classificando correttamente una buona parte degli elettroni che producono questo picco.

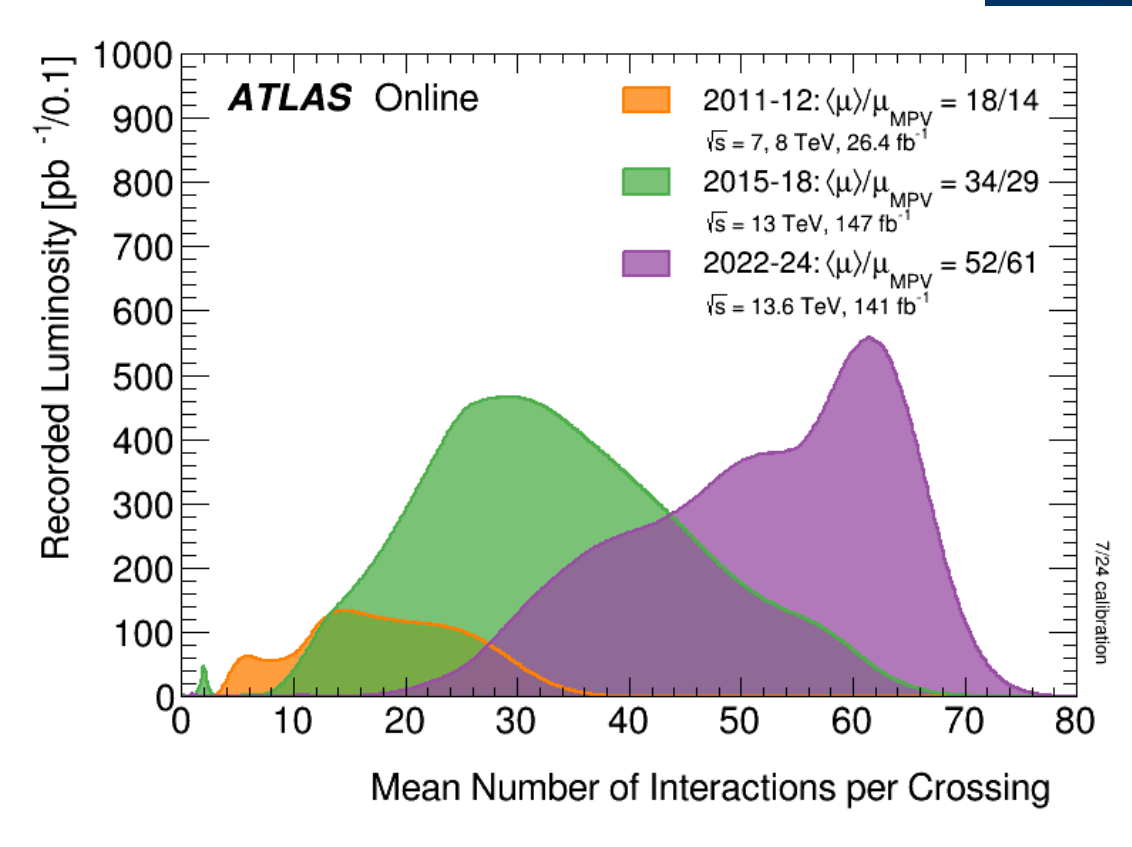


THE RESTANCE OF THE PROPERTY O

Large Hadron Collider -LHC

- Ginevra, Svizzera. È un acceleratore di protoni e ioni pesanti installato nel tunnel di 27 km del LEP
 - Sequenza di magneti per curvare e focalizzare il fascio
 - Collisioni ad energia del centro di massa di 13.6 TeV





- Campagne di prese dati:
 - Run 1 → 2009 2013
 - Run 2 → 2015 2018
 - Run 3 → 2022 in corso
- Condizioni sperimentali molto diverse

3 5

ATLAS

Sistema di magneti: 3 magneti toroidali ed uno solenoidale producono il campo magnetico interno ad ATLAS.

Nella parte esterna si trova lo spettrometro per muoni

Interaction Point (IP)

L'Inner Detector ricostruisce le tracce delle particelle cariche.
Composto da due sotto rivelatori a Silicio di fine granularità, Pixel Detector ed SCT, ed un rivelatore a radiazione di transizione (TRT).

Il **sistema di Calorimetri**: misura l'energia di elettroni, fotoni e jet adronici. Calorimetro elettromagnetico (e^- , γ) ed uno adronico.